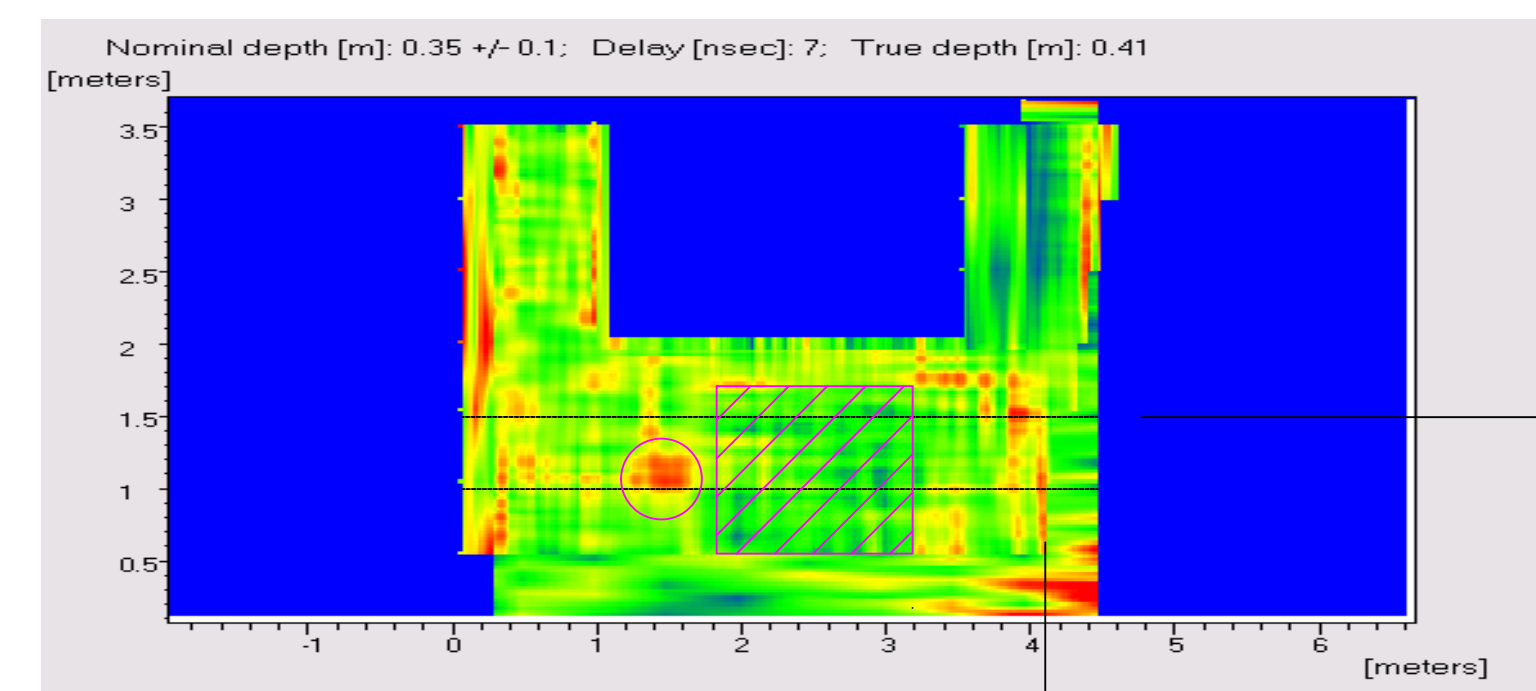


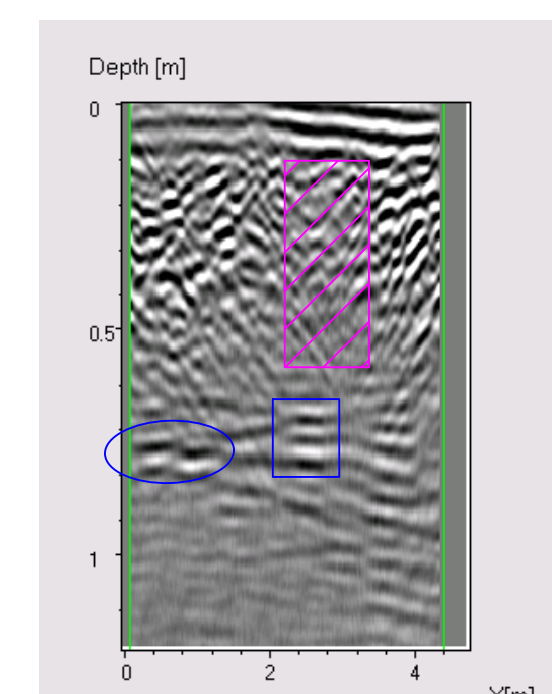
MAGLIA GEORADAR AA Porzione davanti all'altare

Time-slice relativa alla profondità di - 0.41 m



Scala 1:50

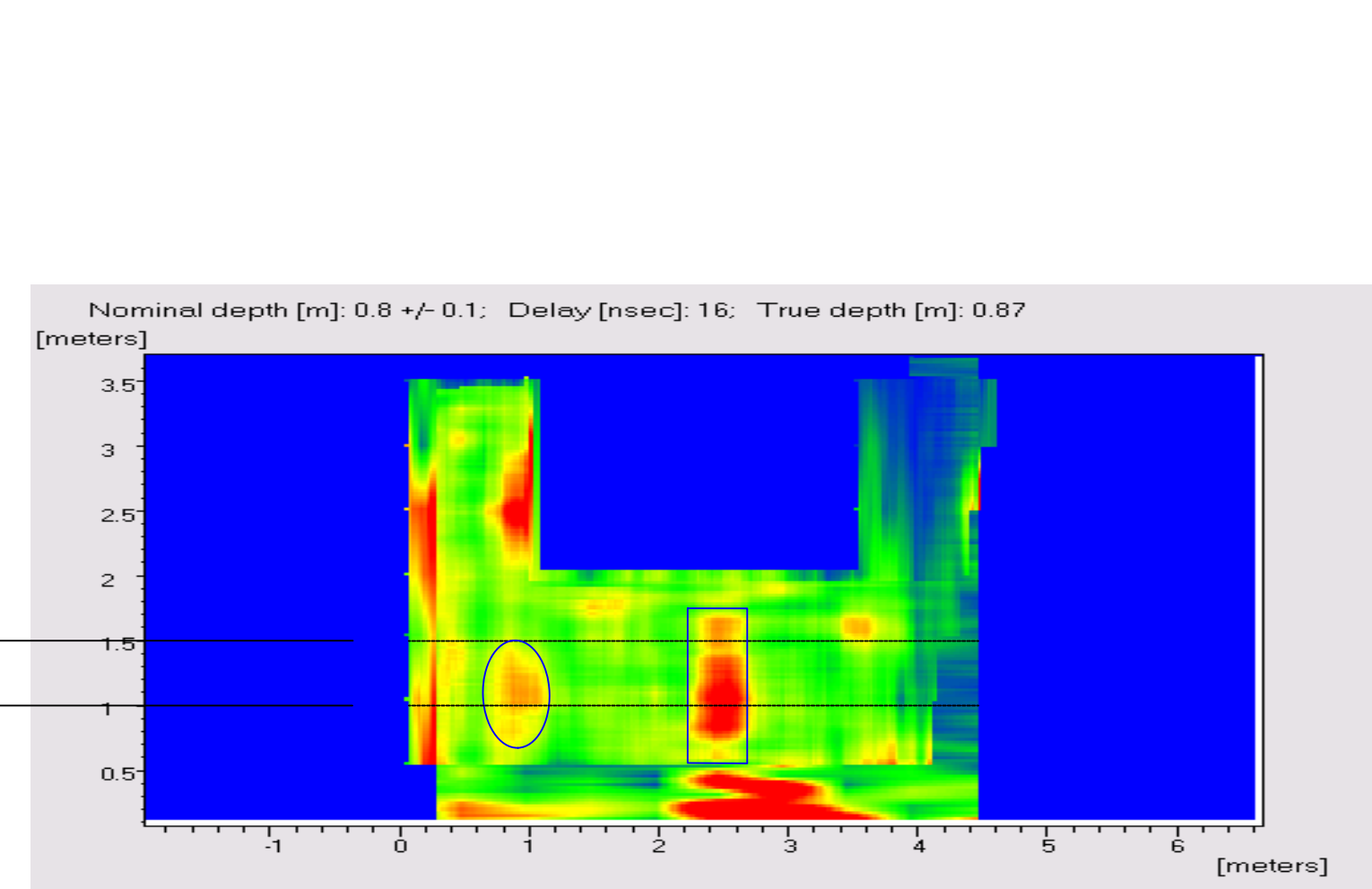
Radargramma LID 10013 AA



Non in scala

Alla profondità di - 0.80 m è evidente una forte variazione del segnale riflesso. La differente risposta è strettamente legata alla variazione del mezzo indagato e non a fenomeni di attenuazione del segnale. Sono inoltre evidenti due anomalie parallele tra loro ben distinguibili sia sulla time-slice che sul radargramma (ovale e rettangolo blu).

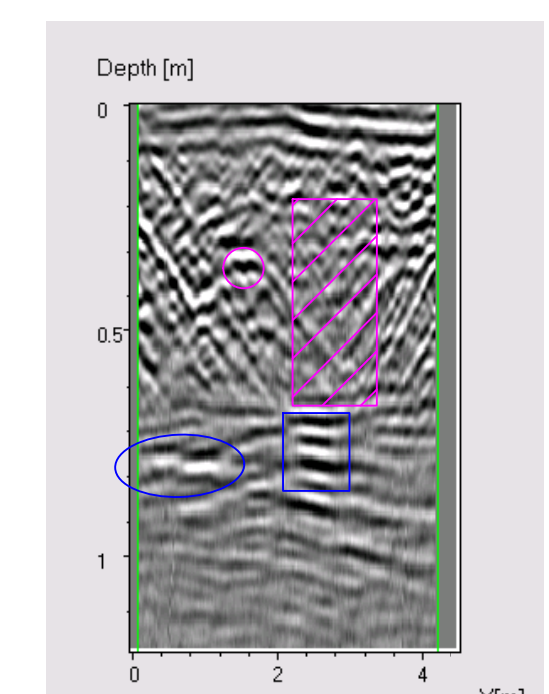
Time-slice relativa alla profondità di - 0.87 m



Scala 1:50

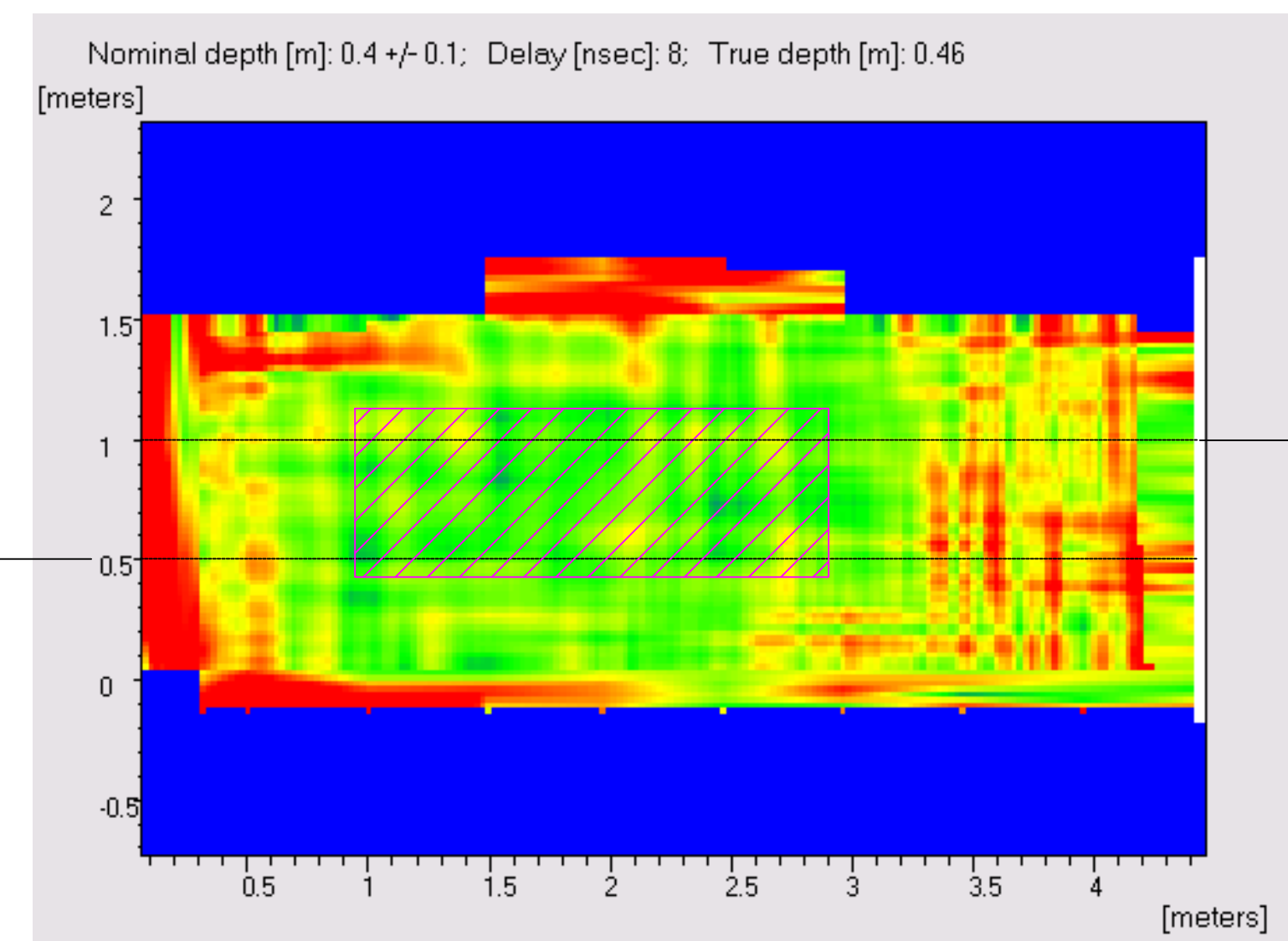
L'area racchiusa nel rettangolo retinato in magenta testimonia la presenza di una porzione di volume maggiormente assorbente. Ben evidenti sono le anomalie che delimitano tale area (es: anomalia nel cerchio in magenta).

Radargramma LID 10012 AA



Non in scala

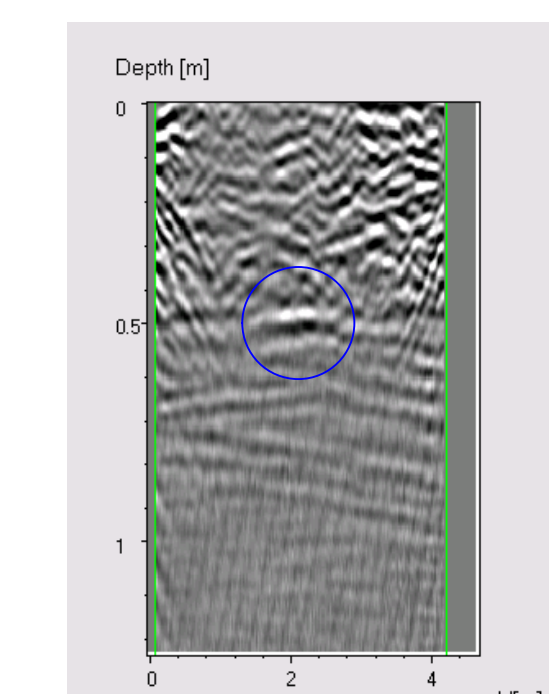
Time-slice relativa alla profondità di - 0.46 m



Scala 1:25

Porzione dietro l'altare MAGLIA GEORADAR AB

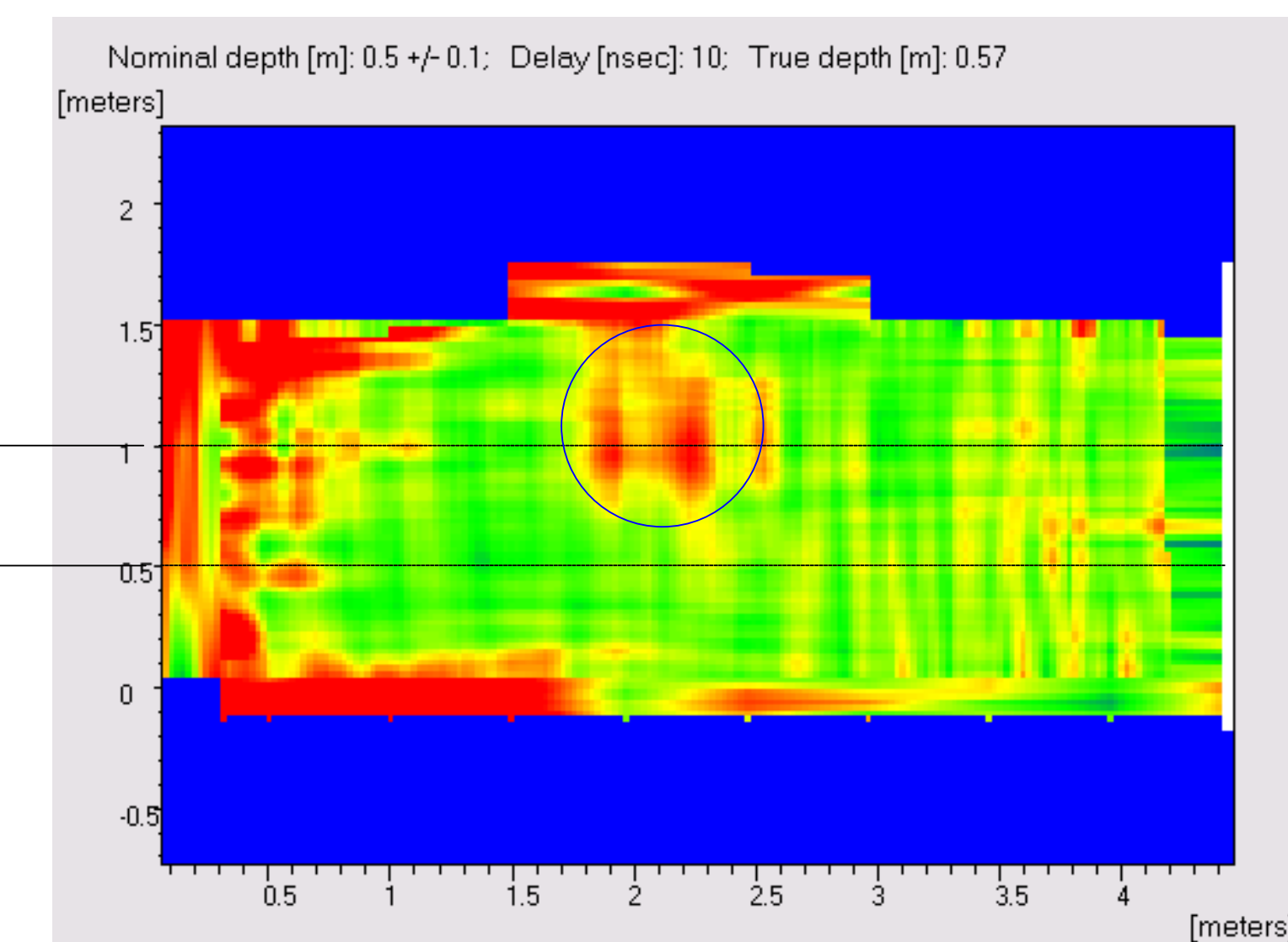
Radargramma LID 10013 AB



Non in scala

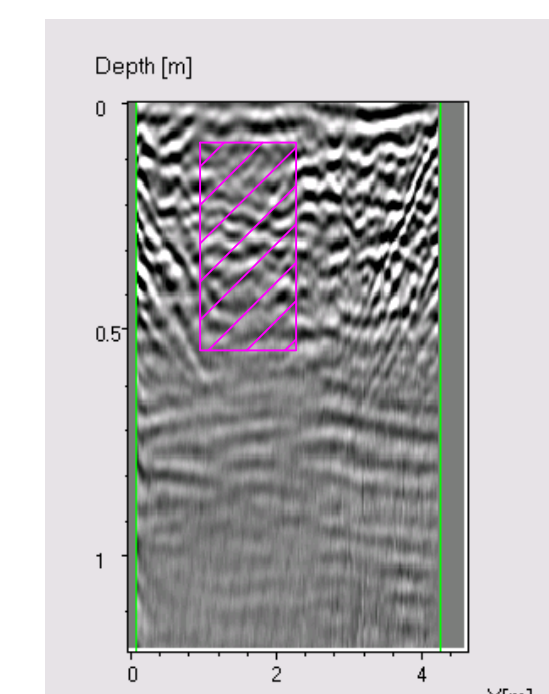
La time\_slice -0.57 m mette in evidenza la presenza di una anomalia centrale all'area di indagine, ben distinguibile anche sul radargramma LID 10013 AB (l'anomalia è racchiusa nel cerchio blu).

Time-slice relativa alla profondità di - 0.57 m



Scala 1:25

Radargramma LID 10012 AB



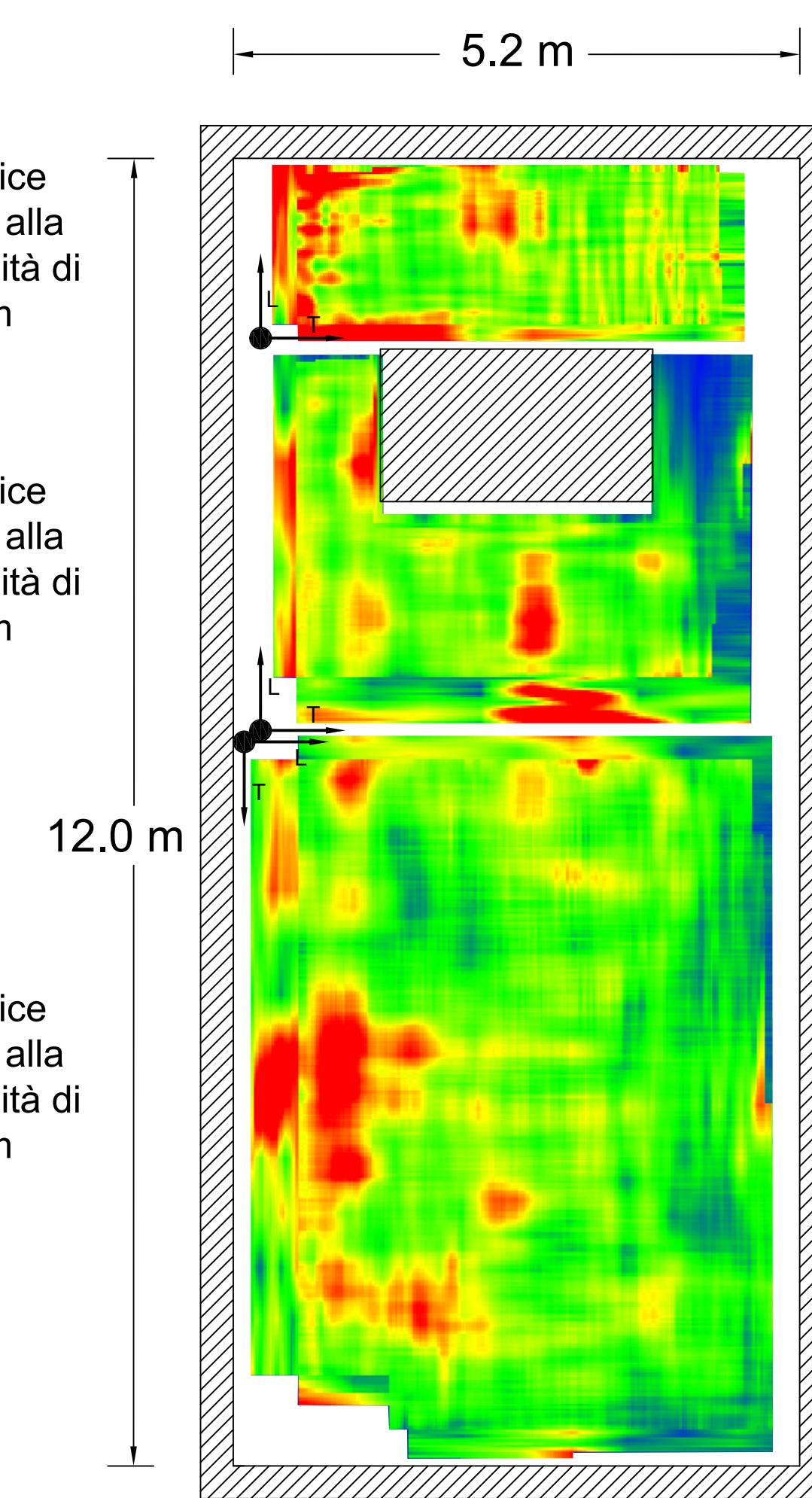
Non in scala

Anche in questo caso riscontriamo, come nell'area AA, una porzione di sottosuolo maggiormente assorbente racchiusa, lateralmente, da volumi caratterizzati da molteplici riflessioni (rettangolo retinato in magenta).

Time-slice relativa alla profondità di - 0.57 m

Time-slice relativa alla profondità di - 0.87 m

Time-slice relativa alla profondità di - 0.92 m

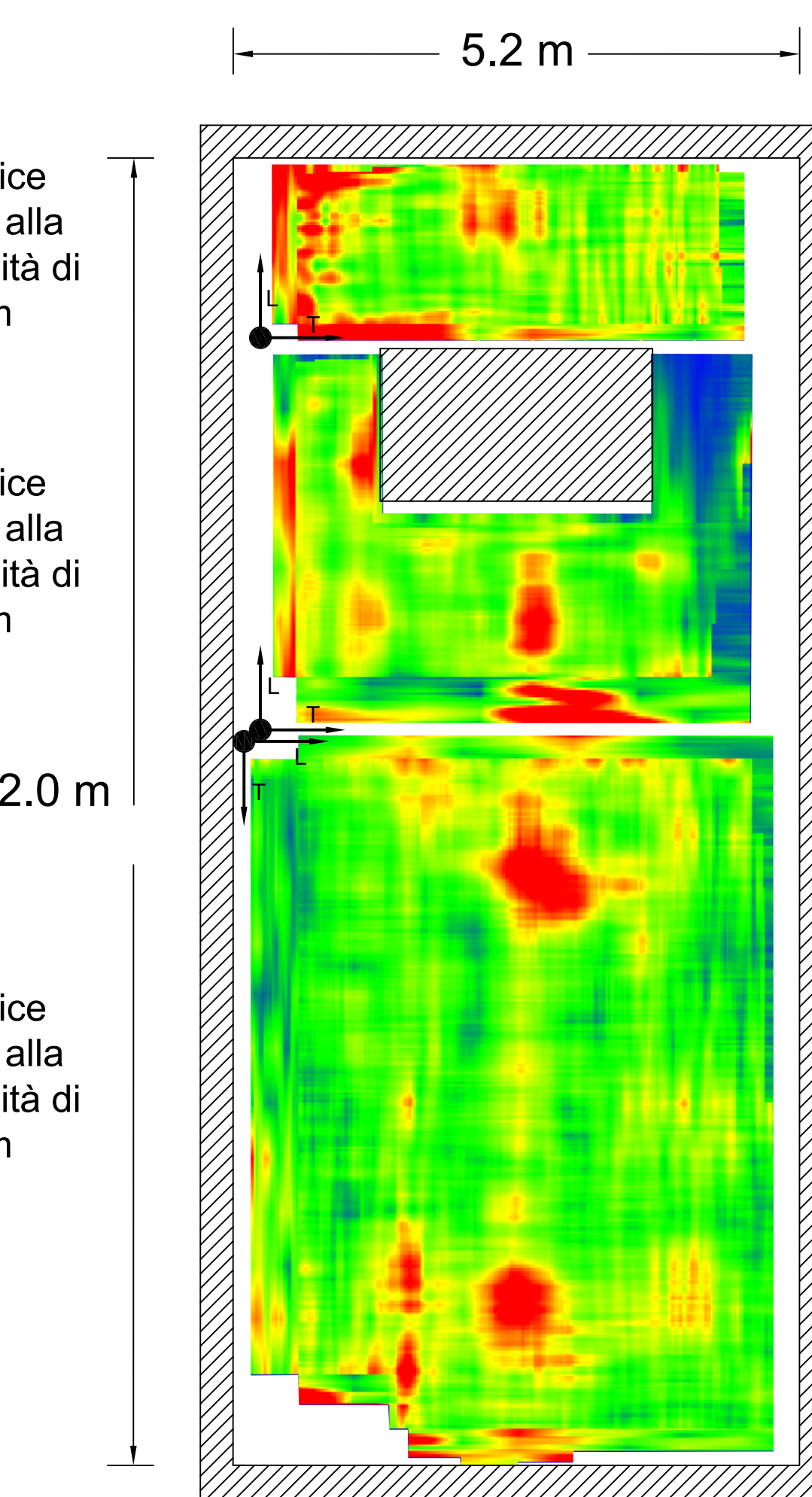


Scala 1:50

Time-slice relativa alla profondità di - 0.57 m

Time-slice relativa alla profondità di - 0.87 m

Time-slice relativa alla profondità di - 0.77 m

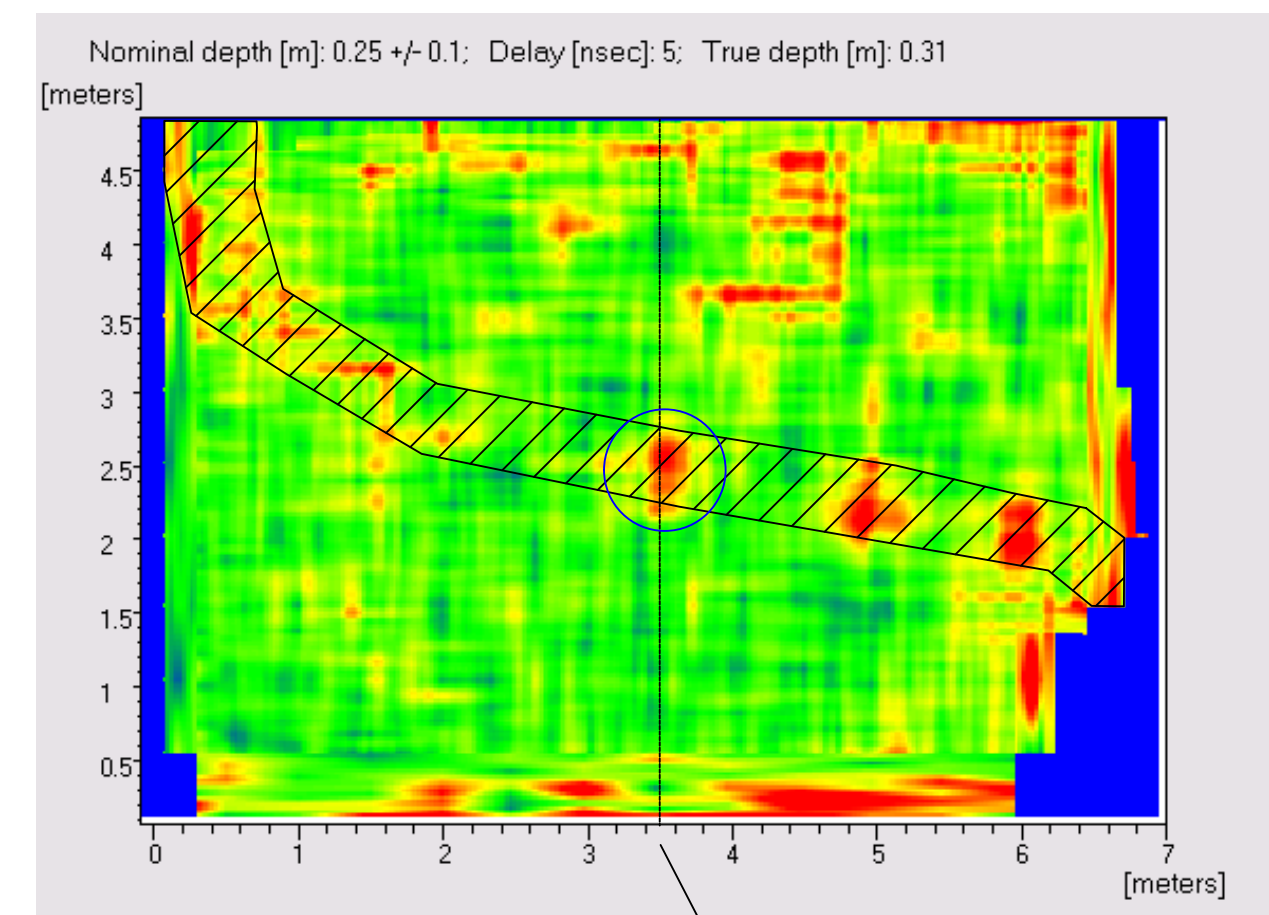


Scala 1:50



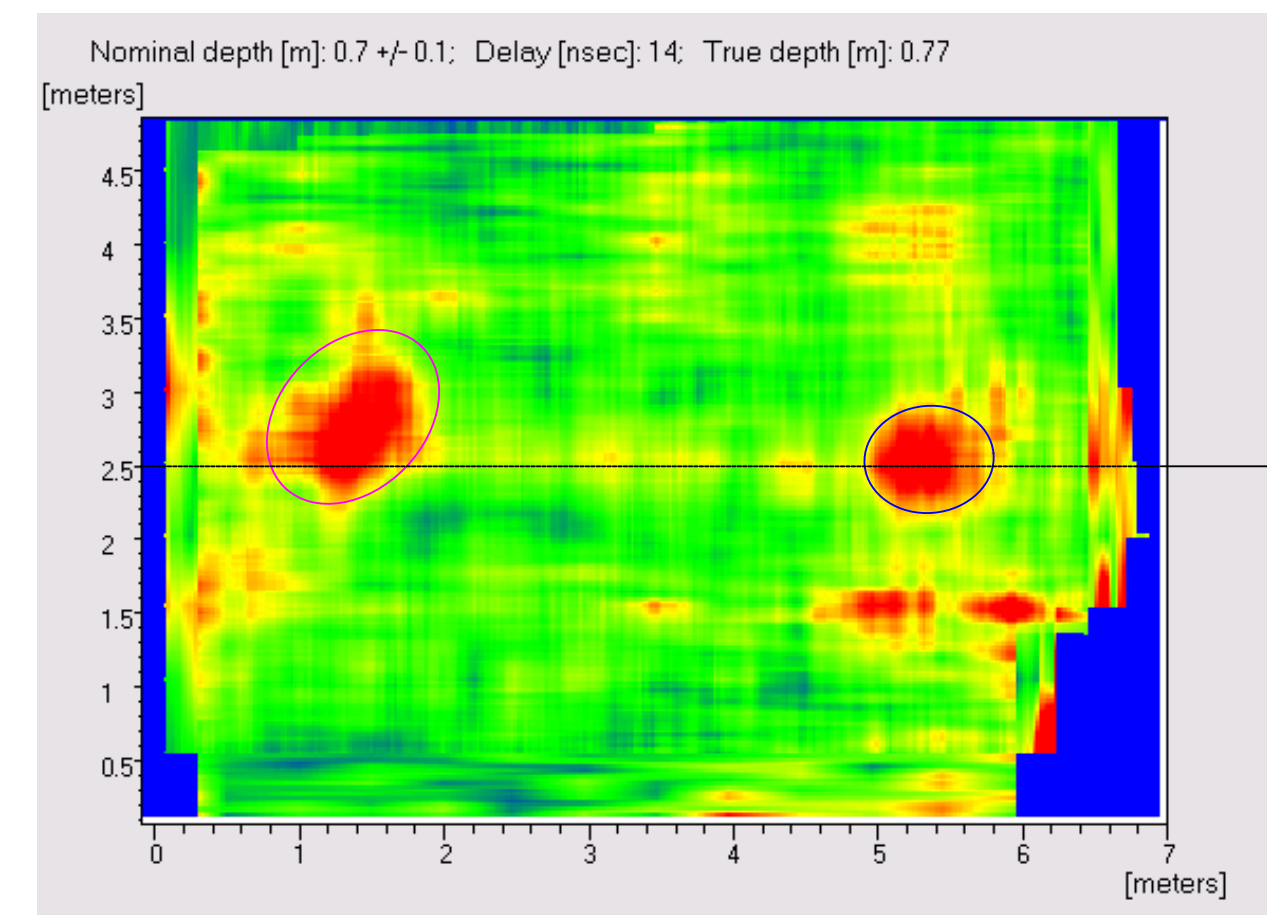
MAGLIA GEORADAR AC Porzione all'ingresso della "chiesina"

Time-slice relativa alla profondità di - 0.31 m



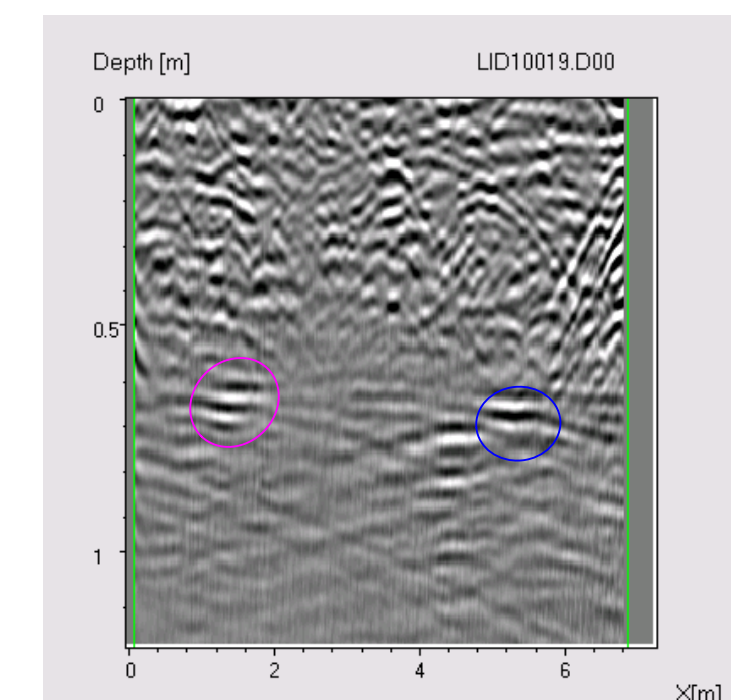
Scala 1:50

Time-slice relativa alla profondità di - 0.77 m



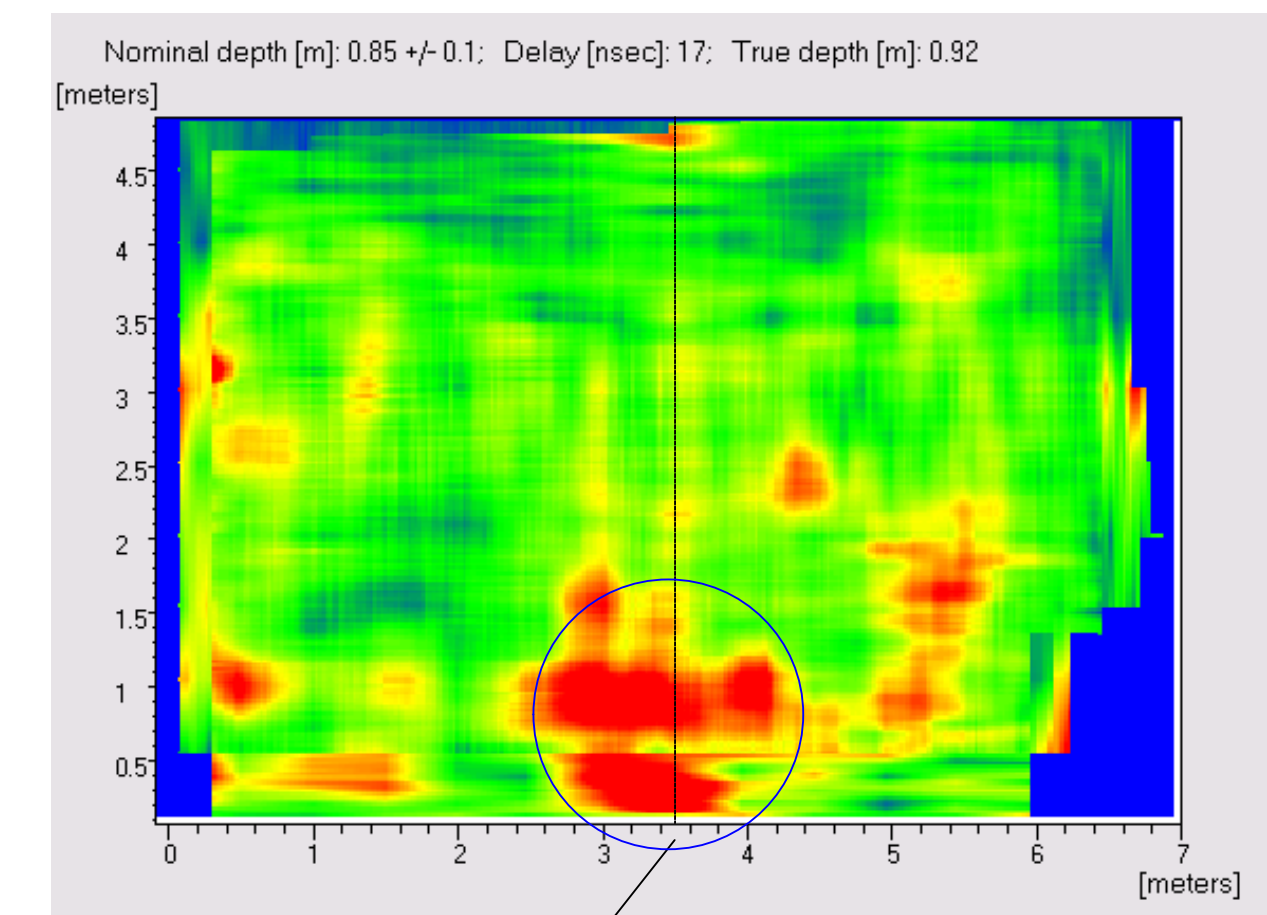
Scala 1:50

Radargramma LID 10019 AC



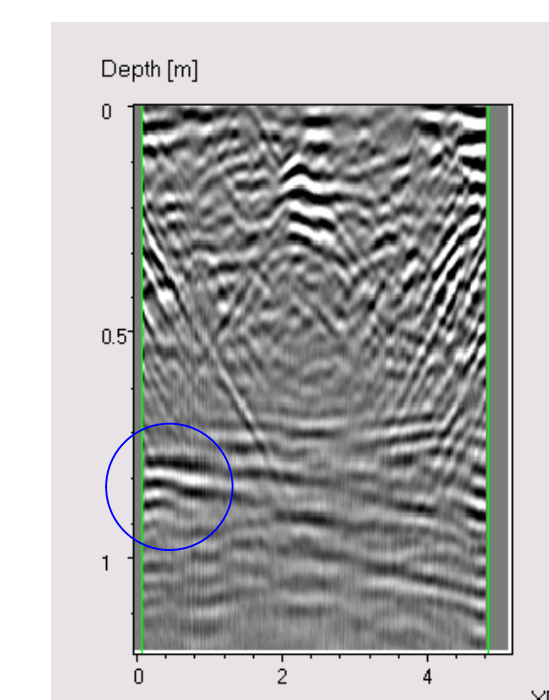
Non in scala

Time-slice relativa alla profondità di - 0.92 m



Scala 1:50

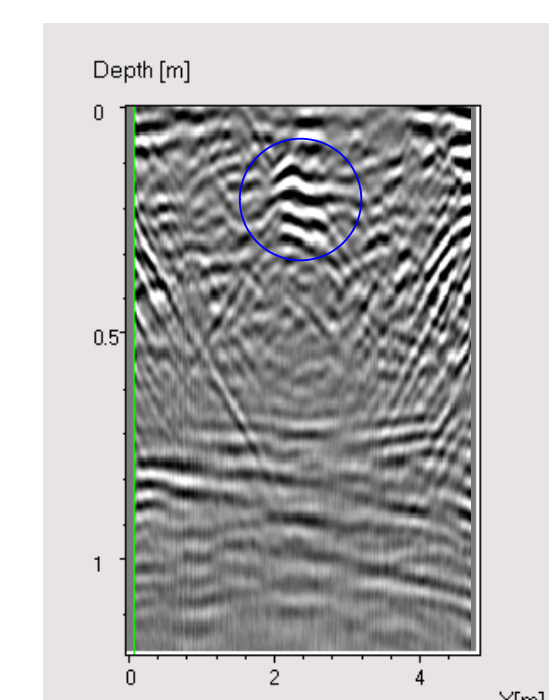
Radargramma TID 10008 AC



Non in scala

La time-slice -0.31 m permette di osservare l'allineamento di alcune anomalie riscontrabili anche nel TID 10011 AC (anomalia nel cerchio blu).

Radargramma TID 10008 AC



Non in scala

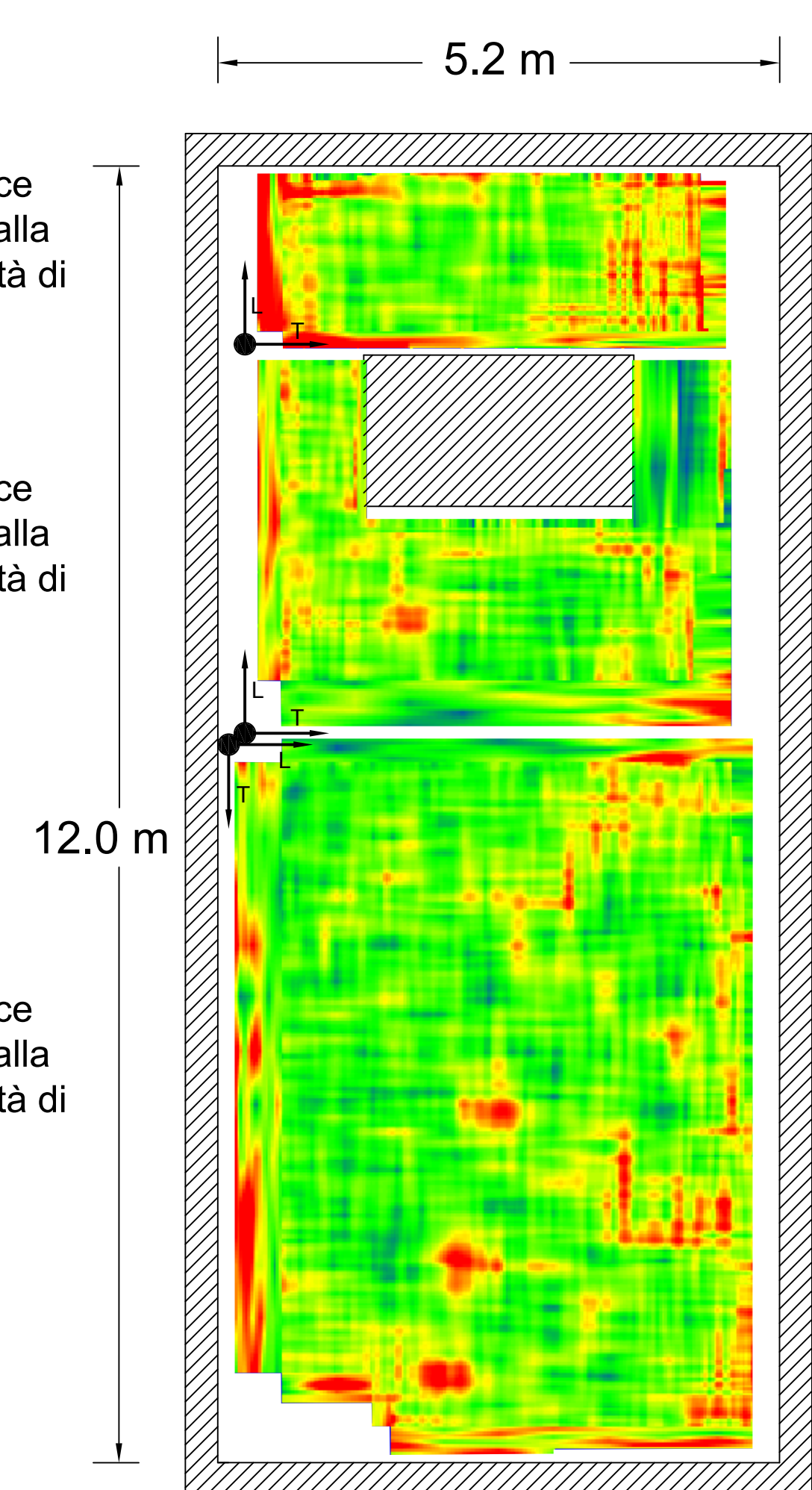
Alla profondità di - 0.77 m si notano due anomalie importanti evidenziate dagli ovali in magenta e blu. I radargrammi mostrano, in generale la presenza di due radarfacies principali: una superficiale caratterizzata da riflettori caotici (da 0 a - 0.6 m circa) ed una più profonda con riflettori delineati da orizzontali ad obliqui (da - 0.6 m a - 1.2 m). Tali aree potrebbero rappresentare un'area di riempimento correlabile alla risposta più superficiale e un'area stratificata riferibile alla risposta più profonda.

Anche alla profondità di - 0.92 m è presente una forte anomalia ben riscontrabile anche su TID 10008 AC (cerchio blu).

Time-slice relativa alla profondità di - 0.46 m

Time-slice relativa alla profondità di - 0.41 m

Time-slice relativa alla profondità di - 0.31 m



Scala 1:50

